

II-264 粘着性材料を含む砂礫床の清砂機構に関する研究

京都大学防災研究所 正 江頭進治
京都大学防災研究所 正 芦田和男
京都大学 大学院 学 加木 実

1. まえがき 山地流域の土砂生産場の材料には、粘土およびシルトなどの微細エンドがかなり含まれており、その粘着性は、生産場の侵食・輸送現象を支配する主要なパラメータの一つであることが知られている。本研究においては、山地流域における侵食や河道変動現象を解明するための一環として、砂礫の移動限界や清砂量に対する粘着力の効果について検討しようとするものであって、主として、移動限界に対する粘土含有率および含水比の効果、および清砂量の非平衡性について考察する。

2. 砂礫の移動限界 二次元等流、かつ单一粒径の砂と粘土の混合物からの傾斜角 θ の河床を対象として、粘着力を考慮した力のつり合い条件より、砂粒子の無次元限界摩擦力 τ_{*cc} の表示式がつぎのように導かれてある。^{1), 2)}

$$\tau_{*cc} = \left(\cos \theta \tan \varphi - \frac{\rho_s}{\rho_s - \rho} \sin \theta \right) \frac{\rho_s}{\tan \varphi} + \frac{k'_1 d^2 f_c}{k_3 (\rho_s - \rho) g d^3} \frac{\rho_s}{\tan \varphi} \quad (1)$$

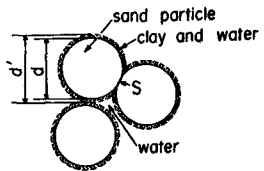


図-1. 混合物のモデル

ここで、 $\rho_s = \text{Shields parameter} - \alpha = 2k_3 \tan \varphi / C_D (k_2 + k_1 C_L / C_D \cdot \tan \varphi)$ 、 d ：砂粒径、 k_1 、 k_2 、 k_3 ：形状係数で、球形の場合 $k_1 = k_2 = \pi/4$ 、 $k_3 = \pi/16$ 、 φ ：砂の水中摩擦角、 ρ_s ：砂および粘土粒子の密度、 ρ ：水の密度、 C_D ：単位面積当たりの粘土の粘着力である。¹⁾式の右辺第一項は、粘土を含まない場合の無次元限界摩擦力を示す、第二項が粘着力による限界摩擦力の増加分 $\Delta \tau_{*cc} = \tau_{*cc} - \tau_{*c}$ に相当する。ここで、 $k'_1 d^2$ は、砂粒子の剥離に対する粘着力を発揮する面積である、混合物の粘土含有率および粘土の含水比によって変化し、 $\Delta \tau_{*cc}$ の増減を支配する重要なパラメータとなる。ここで、 $\Delta \tau_{*cc}$ に対する $k'_1 d^2$ の効果を評価しよう。いま、砂粒間の摩擦は、粘土を含まない場合と同様である、粒与間の接触部分以外の粒子表面上には、図-1に示すように、水で飽和した粘土が等厚に付着しているものとし、砂粒子の実質部分以外を空隙とせんとしたときの空隙率をとるとすると、簡単な幾何学的関係より、砂粒子間の一つの接点における粘着力 S は、近似的に次式のようになる。

$$S = \frac{\pi d^2}{4} \left[\left\{ 1 + \frac{1}{1-\lambda} \frac{\rho_f (1+\sigma w)}{\rho_f \sigma w + 1} \right\}^{2/3} - 1 \right] \quad (2)$$

ここで、 ρ_f ：粘土の含有率、 w ：粘土の含水比、 $\sigma = \rho_f / \rho$ である。路床表面の一個の砂粒子は、九個の接点で支えられているものとすると、粒子の離脱に対して抵抗する粘着力の総和は $9S$ となる。さて、 $k'_1 d^2 = 9S$ とおき、これを(1)式に代入して $k_3 = \pi/16$ とすると、 $\Delta \tau_{*cc}$ は次式のようになる。

$$\Delta \tau_{*cc} = \tau_{*cc} - \tau_{*c} = \frac{3m}{2} \frac{f_c}{(\rho_s - \rho) gd} \left[\left\{ 1 + \frac{1}{1-\lambda} \frac{\rho_f (1+\sigma w)}{\rho_f \sigma w + 1} \right\}^{2/3} - 1 \right] \frac{\rho_s}{\tan \varphi} \quad (3)$$

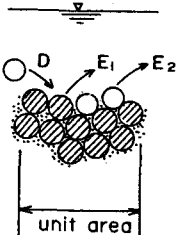


図-2. 砂粒子間の剥離・堆積モデル

上式の大括弧は ρ_f および w の増加倍数である。一方、粘着力 f_c はひずみ増加とともに減少する。したがって、砂粒子の移動限界は、 ρ_f が大きくなると増大し、 ρ_f 一定のときにはある含水比で極大値を示すことが推察される。

3. 清砂の非平衡性 一粒剥離した砂粒子の次の剥離過程においては、粘着力が殆んど働かない。そのため、粘着性材料を含む砂礫床のある有限領域においては、清砂の非平衡性が卓越する。簡単のため、上述の議論と同様の場を対象として、図-2に示すように、剥離経験のない砂粒子の侵食率 E_1 、剥離堆積したものの侵食率 E_2 、および堆積率 D とし、粘土分を考慮しないことにすると、清砂の連続式は次式のようになる。

$$\partial \theta_g(x) / \partial x = E_1(x) + E_2(x) - D(x) \quad (4)$$

E_1 と E_2 に相当する砂粒子の pick up rate および露出面積率をそれぞれ、 P_{S1} , P_{S2} がそれぞれ δ_1 , δ_2 とする。さらには、中川・辻本³⁾ および芦田・田中⁴⁾ の研究を参考にして、 D は、その場所の漏砂量 g_B に比例し、平衡状態における平均跳躍距離 $1/e$ に反比例するものとすると、これらは、それそれぞれ次式のように示される。

$$E_1(x) = P_{S1} N \delta_1(x) k_3 d^3 \quad (5) \quad E_2(x) = P_{S2} N \delta_2(x) k_3 d^3 \quad (6)$$

$$D = \delta_2(x) / 1/e \quad (7) \quad \delta_1(x) + \delta_2(x) = 1 \quad (8)$$

$$N = 1/k_3 d^2 \quad (9) \quad g_{Be} = k_3 / k_2 \cdot P_{S2} 1/e d \quad (10)$$

ここで、 N は単位面積当たりの露出個数、 g_{Be} は平衡流砂量である。 $(5) \sim (10)$ 式を (4) 式に適用し、 $x=0$ における漏砂量を g_{B0} とすると、その解は次のようになる。

$$\frac{g_B(x)}{g_{B0}} = 1 - (1 - g_{B0}/g_{Be}) \exp [-(P_{S1}/P_{S2})(x/1/e)] \quad (11)$$

上式の P_{S1} , P_{S2} は、中川・辻本の成果を採用し、 $1/e = \lambda_{ed}$, $g_{B0} = 0$ とすると、次式を得る。

$$\frac{g_B(x)}{g_{B0}} = 1 - \exp \left[-\frac{1}{\lambda_{ed}} \left\{ \frac{1}{2} \left(\frac{x}{1/e} - \frac{c}{2} \right)^2 - \frac{c^2}{2} \right\} \right] \quad (12)$$

4. 移動限界・漏砂量に関する実験的検討 実験は、幅40 cm, 深さ20 cm, 長さ8 mのアクリル製水路を用いて行った。移動限界に関する実験では、 $d_{50} = 2.85 \text{ mm}$ のほば一樣な砂と粘土(パールクレイ、カオリン)および水の混合物を路床に敷き、水路中央部12 cm × 12 cmの領域において、砂粒子の5方向の剥離回数を種々の条件のもとで計数した。剥離回数より τ_{*cc} を決定するため、砂だけの場合について調べた結果、岩垣式による条件 $\tau_{*cc} = 0.047$ のとき、25個/5分であった。そこで、このときの無次元漏砂力を τ_{*cc} とした。一方、漏砂の非平衡性については、移動床の長さをもれぞれ $PL = 500$, 250 および 125 cm とし、これに対する下流端漏砂量の変化に基づいて検討した。

図-3は、粘土の含有率 w をパラメータとして、 τ_{*cc} と含水比 w との関係を示したものである。先に推察したように、 $P_{S2} = \text{const.}$ の条件では、 τ_{*cc} は極値をもつようであったが、 $P_{S2} = 0.089$ の場合についてみると、粘土の液性限界(LL)よりも少し大きめの含水比のとき極大値になっていた。図-4は、粘着力 τ_c を適者に仮定して算定された τ_{*cc} と実験値とを比較したものである。データが少いため十分な検討はできないが、広い範囲のデータがある $w=50\%$ のものについてみると、両者の対応はよい。図-5は、(4)式 ($\lambda_{ed}=100$) と実験値とを比較したものである。同図より両者は、かなりよく一致しているのがわかる。図中には、粘土を含まない場合についての計算曲線も示されているが、これと他の理論曲線とも比較すると、粘着地盤に対する漏砂の非平衡性が理解される。なお、 $PL=125 \text{ cm}$ の結果は、実験精度上の問題のため図示されてない。

5. あとがき 山地流域における工砂水理的諸問題を解明するための基礎として、粘着性材料を含む砂疊の移動限界と漏砂特性について検討した。以上の結果から考えて、本研究の方法は、年々進歩したものであると思われる。なお、本研究は、一部文部省科学研究費(一般B)の補助を受けたことを記し、感謝の意を表す。

参考文献 1) 芦田・江頭・金屋敷、水理講演会、1980. 2) 芦田・江頭・加本、東大防災研年報、25号B2, 1982.
3) 中川・辻本、土木学会論文集、264号、1975. 4) 芦田・田中、京大防災研年報、17号B、1974.

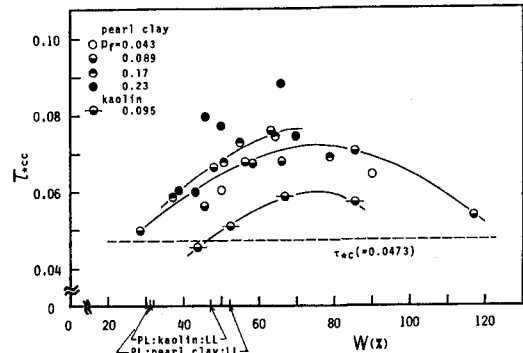


図-3. τ_{*cc} と w および P_{S2} との関係。

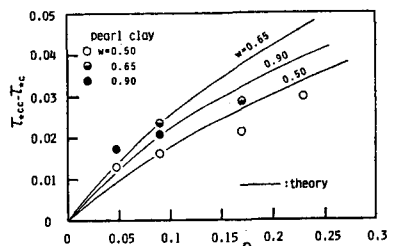


図-4. (3)式と実験値との関係。

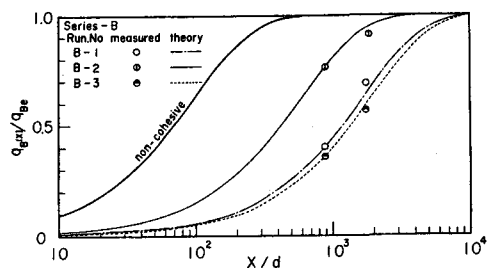


図-5. (12)式と実験値との関係。